

## Е.С. ТЕМИРБЕКОВ

## АНАЛИЗ ПЕРЕМЕЩЕНИЙ И УСИЛИЙ В КОНСТРУКЦИЯХ СТЕРЖНЕВЫХ МЕХАНИЗМОВ С УЧЕТОМ РАСПРЕДЕЛЕННОЙ ИНЕРЦИИ

Интенсивности сил инерции и тяжести звена имеют определенное аналитическое выражение, используя их [1] и метод конечных стержневых элементов (МКЭ), основанный на прямолинейном однородном стержне [2-4], получены более точные для исследования кинетостатики рычажных механизмов модели стержневого конечного элемента:

$$\begin{Bmatrix} \vec{R}_\xi^y \\ \vec{R}_\xi^x \end{Bmatrix} = \begin{bmatrix} B_{11}^y & B_{12}^y \\ B_{21}^y & B_{22}^y \end{bmatrix} \begin{Bmatrix} \vec{U}_\xi^y \\ \vec{U}_\xi^x \end{Bmatrix} + \begin{Bmatrix} \vec{Q}^y \\ \vec{Q}^x \end{Bmatrix}, \text{ где } \quad (1)$$

реактивные силы  $\vec{R}_\xi^y = [R_{1N\xi}^y R_{2N\xi}^y R_{3N\xi}^y R_{1M\xi}^y R_{2M\xi}^y R_{3M\xi}^y]^T$  и

$\vec{R}_\xi^x = [R_{1N\xi}^x R_{2N\xi}^x R_{3N\xi}^x R_{1M\xi}^x R_{2M\xi}^x R_{3M\xi}^x]^T$ , узловые перемещения  $\vec{U}_\xi^y = [u_1^y u_2^y u_3^y \varphi_1^y \varphi_2^y \varphi_3^y]^T$  и  $\vec{U}_\xi^x = [u_1^x u_2^x u_3^x \varphi_1^x \varphi_2^x \varphi_3^x]^T$ ;  $[B_{rq}^y]$  ( $r=1,2; q=1,2$ ) матрицы жесткости  $[B^y]$  не изменяются [2-4], а подвекторы  $\vec{Q}^{ij}$  и  $\vec{Q}^{ji}$  получены в следующем виде [1] - для распределенной инерции плоскопараллельного движения:

$$\vec{Q}^{ij} = \begin{Bmatrix} -\frac{a_n l}{2} - \frac{b_n l^2}{2} \\ -\frac{a_q l}{2} - \frac{3b_q l^2}{20} \\ 0 \\ 0 \\ 0 \\ -\frac{a_q l^2}{12} - \frac{b_q l^3}{30} \end{Bmatrix}, \quad \vec{Q}^{ji} = \begin{Bmatrix} -\frac{a_n l}{2} - \frac{b_n l^2}{2} \\ -\frac{a_q l}{2} - \frac{7b_q l^2}{20} \\ 0 \\ 0 \\ 0 \\ \frac{a_q l^2}{12} + \frac{b_q l^3}{30} \end{Bmatrix} \quad (2)$$

где  $a_n = -\gamma A \sin \theta - \frac{\gamma A}{g} w_p^i$ ;  $b_n = \frac{\gamma A}{g} \omega^2$ ;  $a_q = -\gamma A \cos \theta - \frac{\gamma A}{g} w_p^j$ ;  $b_q = -\frac{\gamma A}{g} \varepsilon$ ;  $\gamma, A, l$  -

удельный вес, площадь сечения и длина звена;  $\theta$  - угол наклона звена;  
- для распределенной инерции пространственного движения:

$$\bar{Q}^{ij} = \begin{bmatrix} -\frac{a_q l}{2} - \frac{b_q l^2}{2} \\ -\frac{a_q^y l}{2} - \frac{3b_q^y l^2}{2} \\ -\frac{a_q^z l}{2} - \frac{3b_q^z l^2}{20} \\ \frac{ml}{2} \\ \frac{a_q^z l^2}{12} + \frac{b_q^z l^3}{30} \\ \frac{a_q^y l^2}{12} - \frac{b_q^y l^3}{30} \end{bmatrix}, \quad \bar{Q}^{ji} = \begin{bmatrix} -\frac{a_q l}{2} - \frac{b_q l^2}{2} \\ -\frac{a_q^y l}{2} - \frac{7b_q^y l^2}{20} \\ -\frac{a_q^z l}{2} - \frac{7b_q^z l^2}{20} \\ -\frac{ml}{2} \\ -\frac{a_q^z l^2}{12} - \frac{b_q^z l^3}{30} \\ \frac{a_q^y l^2}{12} + \frac{b_q^y l^3}{30} \end{bmatrix} \quad (3)$$

где  $m$  - равномерно распределенная интенсивность кручущего момента. Определение перемещений узлов. Пусть  $\vec{U}^y$  вектор обобщенных перемещений точки контакта  $ij$ -го стержневого элемента с  $i$ -м узловым элементом, а  $\vec{U}^x$  - вектор обобщенных перемещений точки контакта  $ij$ -го стержневого элемента с  $j$ -м узловым элементом. Положительные направления перемещений примем совпадающими с положительными направлениями координатных осей  $O'\zeta_k$  и  $O'\zeta_k$  ( $k=1, 2, 3$ ). Тогда имеют место зависимости  $\vec{U}^y = [D^y]^* \vec{U}_\xi^y$ ,  $\vec{U}^x = [D^x]^* \vec{U}_\xi^x$  и обратные им  $\vec{U}_\xi^y = [D^y] \vec{U}^y$ ,  $\vec{U}_\xi^x = [D^x] \vec{U}^x$ , причем  $[D^y] = [D^x]$  в силу прямолинейности стержня. В свою очередь перемещения  $\vec{U}^y$  и  $\vec{U}^x$  точек контакта  $ij$ -го стержневого элемента с  $i$ -м и  $j$ -м узловыми элементами связаны с перемещениями  $\vec{\Delta}$  и  $\vec{\Delta}'$  центров этих узловых элементов вдоль осей  $O'\eta_k$  и  $O'\eta_k$  ( $k=1, 2, 3$ ) следующими соотношениями (рис. 1):

$$\vec{U}^y = [H^y] \vec{\Delta}, \quad \vec{U}^x = [H^x] \vec{\Delta}', \text{ где } \vec{\Delta} = [u_1' u_2' u_3' \phi_1' \phi_2' \phi_3']^T, \quad \vec{\Delta}' = [u_1' u_2' u_3' \phi_1' \phi_2' \phi_3']^T$$

$$[\bar{H}_i^y] = \begin{bmatrix} 0 & -\bar{\eta}_3^y & \bar{\eta}_2^y \\ \bar{\eta}_3^y & 0 & -\bar{\eta}_1^y \\ -\bar{\eta}_2^y & \bar{\eta}_1^y & 0 \end{bmatrix}, \quad [\bar{H}_i^x] = \begin{bmatrix} 0 & -\bar{\eta}_3^x & \bar{\eta}_2^x \\ \bar{\eta}_3^x & 0 & -\bar{\eta}_1^x \\ -\bar{\eta}_2^x & \bar{\eta}_1^x & 0 \end{bmatrix}. \quad (4)$$

Обозначая  $[D^y]^* [H^y] = [H^y D^y]^* = [C_i^y]^*$  и  $[D^x]^* [H^x]^* = [H^x D^x]^* = [C_i^x]^*$  получим:

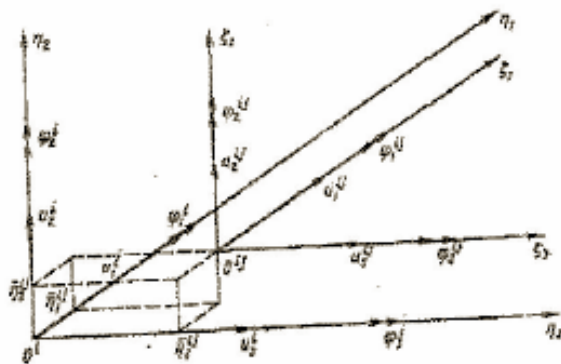


Рисунок 1. Связь компонент перемещений точек  
 $\theta^1$  и  $\theta^2$  узлового элемента

$$\bar{U}_\xi^y = [C_i^y]^T \bar{\Delta}, \quad \bar{U}_\xi^z = [C_i^z]^T \bar{\Delta} \quad (5)$$

Подставляя далее соотношения (5) в зависимости (1), получим:

$$\bar{R}_\xi^{ij} = [B_{11}^j][C_i^y]^T \bar{\Delta}' + [B_{12}^j][C_i^y]^T \bar{\Delta}'' + \bar{Q}^y; \quad (6)$$

$$\bar{R}_\xi^{ji} = [B_{21}^j][C_i^y]^T \bar{\Delta}' + [B_{22}^j][C_i^y]^T \bar{\Delta}'' + \bar{Q}^y; \quad (7)$$

связывающие обобщенные реакции  $\bar{R}_\xi^{ij}$  и  $\bar{R}_\xi^{ji}$  с обобщенными перемещениями  $\bar{\Delta}'$  и  $\bar{\Delta}''$  центров узловых элементов, соседних с  $ij$ -м стержневым элементом.

Подставляя (6) и (7) в уравнения равновесия узловых элементов:

$$\sum_{j=1}^{i-1} [C_i^y]^T * \bar{R}_\xi^{ji} + \sum_{j=i+1}^{N_r} [C_i^y]^T * \bar{R}_\xi^{ji} = \bar{q}^i \quad (i = 1, \dots, N_r)$$

получим систему линейных алгебраических уравнений относительно обобщенных перемещений центров узловых элементов рассматриваемой пространственной стержневой системы:

$$\begin{aligned} & \sum_{j=1}^{i-1} [C_i^y]^T [B_{21}^j] [C_i^y]^T * \bar{\Delta}' + \left\{ \sum_{j=1}^{i-1} [C_i^y]^T [B_{12}^j] [C_i^y]^T + \sum_{j=i+1}^{N_r} [C_i^y]^T [B_{11}^j] [C_i^y]^T \right\} * \bar{\Delta}' + \\ & + \sum_{j=i+1}^{N_r} [C_i^y]^T [B_{12}^j] [C_i^y]^T * \bar{\Delta}' = \bar{q}^i - \\ & - \sum_{j=1}^{i-1} [C_i^y]^T \bar{Q}^{ji} - \sum_{j=i+1}^{N_r} [C_i^y]^T \bar{Q}^{ji} \quad (i = 1, 2, \dots, N_r) \end{aligned} \quad (8)$$

Систему линейных алгебраических уравнений (8) можно записать в матричной форме

$$[P]^* \bar{\Delta} = \bar{F}. \quad (9)$$

Здесь  $[P] = \begin{bmatrix} p_{11} & \dots & p_{1N_r} \\ \dots & \dots & \dots \\ p_{N_r 1} & \dots & p_{N_r N_r} \end{bmatrix}$ ;  $\bar{\Delta} = \begin{bmatrix} \bar{\Delta}_1 \\ \dots \\ \bar{\Delta}_{N_r} \end{bmatrix}$ ;  $\bar{F} = \begin{bmatrix} \bar{f}_1 \\ \dots \\ \bar{f}_{N_r} \end{bmatrix}$ , ( $j > i$ ),  $[p_j] = [K_{21}^y]$

$$[p_i] = \sum_{j=1}^{i-1} [K_{22}^y] + \sum_{j=i+1}^{N_r} [K_{11}^y], \quad [p_j] = [K_{21}^y], \quad \bar{f}_i = \bar{q}_i - \sum_{j=1}^{i-1} [C_i^y]^* Q^y - \sum_{j=i+1}^{N_r} [C_i^y]^* Q^x \quad (10)$$

$$[K_{11}^y] = [C_i^y] [B_{11}^y] [C_i^y]^T; \quad [K_{12}^y] = [C_i^y] [B_{12}^y] [C_i^y]^T;$$

$$[K_{21}^y] = [C_i^y] [B_{21}^y] [C_i^y]^T; \quad [K_{22}^y] = [C_i^y] [B_{22}^y] [C_i^y]^T;$$

Суммирование в выражениях (8) и (10) ведется только по реальным связям. Решение системы (9) с учетом того, что некоторые из компонент векторов  $\bar{\Delta}$  обобщенных смещений центров узловых элементов могут быть заранее известны (задание граничных условий, накладываемых на модель), позволяет определить остальные компоненты векторов  $\bar{\Delta}'$  ( $i = 1, 2, \dots, N_r$ ) обобщенных смещений конечно-элементной модели.

**Реакции в опорах стержневой системы.** Реакции  $\bar{R}'$  в центрах узловых элементов связаны с реакциями  $\bar{R}_\xi^y$  и  $\bar{R}_\xi^x$  со стороны стержневых элементов соотношениями:

$$\bar{R}' = \sum_{j=1}^{i-1} [C_j^y]^* \bar{R}_\xi^y + \sum_{j=i+1}^{N_r} [C_j^y]^* \bar{R}_\xi^y, \quad (11)$$

В свою очередь реакции  $\bar{R}_\xi^y$  и  $\bar{R}_\xi^x$  выражаются через перемещения  $\bar{\Delta}$  и  $\bar{\Delta}'$  центров узловых элементов по формулам (6-7). Подставляя их в (11), получаем выражение

$$\bar{R}' = \left\{ \sum_{j=1}^{i-1} [K_{22}^y] + \sum_{j=i+1}^{N_r} [K_{11}^y] \right\}^* \bar{\Delta}' + \sum_{j=1}^{i-1} [K_{21}^y]^* \bar{\Delta}' + \sum_{j=i+1}^{N_r} [K_{11}^y]^* \bar{\Delta}' +$$

$$+ \sum_{j=1}^{i-1} [C_j^y]^* \bar{Q}^y + \sum_{j=i+1}^{N_r} [C_j^y]^* \bar{Q}^x, \quad (12)$$

позволяющее определить реакции в центре  $i$ -го узлового элемента, если известны перемещения центров всех узловых элементов. Очевидно, что если на перемещения центра  $i$ -го узлового элемента не было наложено никаких ограничений, то  $\bar{R}' = \bar{q}'$ . Если же на перемещения центра  $i$ -го узлового элемента были наложены какие-либо ограничения, то такие узловые элементы будем называть опорными узловыми элементами. Реакции  $\bar{R}'$ , приведенные к центру опорного узлового элемента, вычисляются

по формуле (12). Реакции  $\tilde{R}_0^i$  в самих опорах равны реакциям в опорных узловых элементах. Положительные направления реакций  $\tilde{R}_0^i$  в опорах совпадают с положительными направлениями  $O^i\eta_k$  ( $k = 1, 2, 3$ ).

**Построение эпюор внутренних силовых факторов для прямолинейного стержневого элемента.** После того, как система уравнений (9) решена и определены смещения  $\tilde{\Delta}^i$  центров узловых элементов пространственной стержневой системы, по формулам

$$\vec{U}_\xi^y = [C_i^y]^T \tilde{\Delta}^i; \quad \vec{U}_\xi^z = [C_i^z]^T \tilde{\Delta}^i$$

можно вычислить обобщенные перемещения точек контакта  $ij$ -го стержневого элемента с  $i$ -м и  $j$ -м узловыми элементами. По формуле

$$\tilde{R}_\xi^y = [B_{11}^y] * \vec{U}_\xi^y + [B_{12}^y] * \vec{U}_\xi^z + \tilde{Q}^y$$

вычисляют реакции, действующие на  $ij$ -й стержневой элемент в начале локальной системы координат стержня, и по формулам

$$\begin{aligned} N_0 &= -R_{1N\xi}^y, \quad Q_{y0} = -R_{2N\xi}^y, \quad Q_{z0} = -R_{3N\xi}^y; \\ M_0 &= -R_{1M\xi}^y, \quad M_{y0} = -R_{2M\xi}^y, \quad M_{z0} = -R_{3M\xi}^y; \end{aligned}$$

- внутренние силовые факторы в начальном торцовом сечении стержня. Их достаточно для построения эпюор внутренних силовых факторов для  $ij$ -го стержневого элемента конечно-элементной модели. Из уравнений равновесия получим

$$\frac{dN}{dx} + a_n + b_n x = 0, \quad \frac{dM}{dx} + m = 0;$$

$$\frac{dQ_y}{dx} + a_q + b_q x = 0; \quad \frac{dM_z}{dx} - Q_y = 0; \quad \frac{dQ_z}{dx} + a_q^z + b_q^z x = 0; \quad \frac{dM_y}{dx} - Q_z = 0$$

тем самым определив зависимость внутренних силовых факторов от координаты  $x$ .

#### СПИСОК ЛИТЕРАТУРЫ

- Джолдасбеков С.У., Темирбеков Е.С. Силовой анализ конструкций стержневых механизмов с учетом распределенной инерции движения. Международная научная конференция "Проблемы теоретической и прикладной механики" посвященная 75-летию академика У.А. Джолдасбекова. 1-2 марта, 2006. -Алматы. Тезисы докладов. -С.94.
- Варвак П.М. Метод конечных элементов. -Киев: Вища школа. Головное издательство, 1981.- 176 с.
- Бате К., Вилсон Е. Численные методы анализа и метод конечных элементов / Пер. с англ. А.С.Алексеева и др.; под ред. А.Ф.Смирнова. -М.: Стройиздат, 1982. -448 с.
- Темирбеков Е.С. Кинематическое и силовое исследование механизмов высоких классов с учетом упругости звеньев. Диссертация ... доктора техн. наук. -Алматы, 1996.

Поступила в редакцию 07.08.2006.